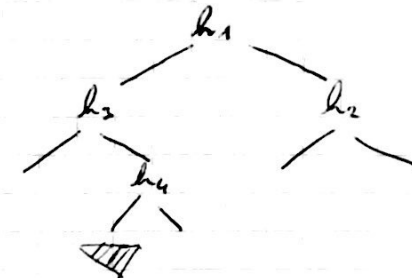
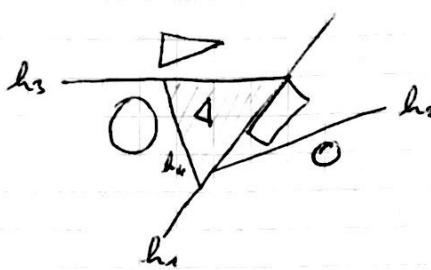


BSP - Trees

[de Berg et al:
Comput. Geom. book]

Noch weitere Verallgemeinerung von k-d-trees,
jetzt beliebige Orientierung der Partitionierungsfläche zugelassen.

Bsp.:
↳ nach Def



Def.:

h = eine Ebene, h^+ = pos. Halbraum, h^- = neg. H.-raum.

Sei S Menge von Objekten im \mathbb{R}^d .

Falls $|S| \leq 1 \rightarrow \text{BSP}^T$ ist Blatt v , welches $S = S(v)$ speichert.

Fall $|S| > 1 \rightarrow$ Wurzel des BSP^T von S ist Knoten v ;

v speichert Ebene h_v und $S(v) = \{x \in S \mid x \in h_v\}$

(alle Obj., die vollständig in h_v liegen);

v hat 2 Kinder T^- u. T^+ ("links" u. "rechts" Kind),

T^- ist BSP zur Menge $S^- := \{h_v^- \cap x \mid x \in S\}$,

analog T^+ zu $S^+ := \{h_v^+ \cap x \mid x \in S\}$.

Fragments

Def.:

in jedem Knoten v gehört eine Komplexe (sph. unbeschränkt) "Zelle" $R(v)$ (= Region) des \mathbb{R}^d . wie bei k-d-tree (n. schruff. Zelle oben)

Zur Wurzel gehört \mathbb{R}^d als Zelle.

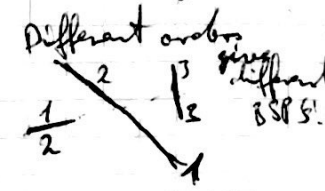
Auto-Partition (im \mathbb{R}^3):

Verwendet nur diejenigen supporting plane (s. n. Seite f. Det.) Splitting-Ebenen, die durch

die Polygone in S definiert werden. (d.h.: S enthält nur Polygone)

Analog in 2D: S enthält nur Linien-Segmente, definiert genau die Splitting-Lines.

In Praxis oft nur diese.



Konstruktion eines BSP: Autopartition-BSP in 2D (vgl. Lemma unten)

$S = \text{Menge von Liniensegmenten in } \mathbb{R}^2$, ~~alle und nicht schief,~~
bez. $l_S = \text{Plane}$ \mathbb{R}^3 die Segment s enthält ("supporting plane")
if $|S| \leq 1$ (d.h. fast gleich def.)

then

$T :=$ Blatt v mit S gespeichert

else

wähle $s_i \in S$ als Splitting-line

Berechne $S^+ := \{s \cap l_{s_i}^+ \mid s \in S\}$, $S^- := \{s \in S \mid s \subseteq l_{s_i}\}$
(note: $s_i \in S(v)$)

$T^+ := \text{BSP}(S^+)$, $T^- := \text{BSP}(S^-)$

$T :=$ Knoten v , mit Kindern T^+, T^- , speichert l_{s_i} und $S(v)$

return T

Randomisiere Algo, indem S am Anfang zufällig permultiert wird.

(Für theor. Analyse)

Lemma (nur im 2D):

Anzahl Fragmente durch schießen Algo

ist erwartet $O(n \log n)$.

Konstruktionszeit ist $O(n^2 \log n)$.

Bew.:

1. $l(s_i) =$ nächste Splitting-line ($s_i =$ nächstes ausgewähltes Segment)
 $=$ supporting line des nächsten ausgewählten Segments s_i

Sei s_j weiteres noch nicht "verbrauchtes" Segment.

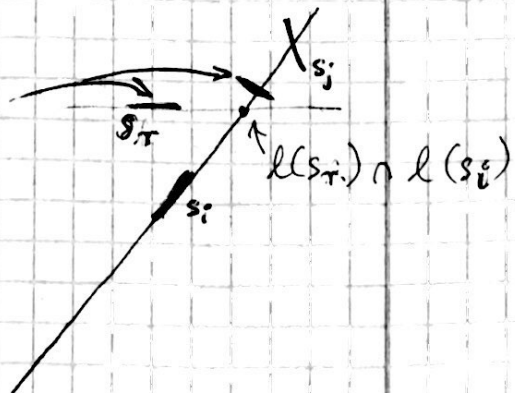
Woran hängt es ab, ob s_j durch $l(s_i)$ gesplittet wird?

Daraus, ob s_j "abgeschnitten" wird

Solche Segmente "schwimmen" s_j von s_i ab,

wenn sie vor s_i als Splitting-line

ausgewählt werden.



$$\Rightarrow \text{Def. } \text{dist}(s_i, s_j) := \begin{cases} k & , l(s_i) \text{ schneidet } s_j \\ +\infty & , \text{ kein BSP aufbau} \\ \text{nach} & , \text{sonst} \end{cases}$$

$k = \text{anzahl Segmente } s_t$, mit Schnittpkt
 $l(s_t) \cap l(s_i)$ liegt zwischen s_i und s_j .

Sei $k = \text{dist}(s_i, s_j)$, s_{j_1}, \dots, s_{j_k} = Segmente
 "zwischen" s_i und s_j \Rightarrow

$l(s_i)$ splittet $s_j \Leftrightarrow i = \min\{i, j_1, j_2, \dots, j_k\}$.

Reihenfolge ist zufällig \Rightarrow Wahrscheinlichkeit

$$\Pr[l(s_i) \text{ splittet } s_j] = \frac{1}{\text{dist}(s_i, s_j) + 2} = \frac{1}{k+2} \quad \left\{ \begin{array}{l} \# \text{Perm}(j, \dots) \\ \# \text{Perm}(i, j_1, \dots) \\ = (k+1)! \\ \hline = \frac{1}{(k+2)!} \end{array} \right.$$

$$\Rightarrow E[\text{anzahl Splits verursacht durch } s] = \sum_{s' \neq s} \Pr[l(s) \text{ splittet } s'] = \\ = \sum_{s' \neq s} \frac{1}{\text{dist}(s, s') + 2} \leq 2 \sum_{i=0}^{m-2} \frac{1}{i+2} \leq 2 \ln m$$

jede Distanz kommt $\leq 2k$ vor (je ex in beide Richtungen)

$$\Rightarrow E[\text{Splits max.}] \leq 2m \ln m$$

$$\Rightarrow E[\#\text{Fragmente}] \leq m + 2m \ln m \quad (\text{man startet mit } n \text{ Fr.})$$

In besondere: es ex. ein BSP zu S mit $\leq m$ zu m Fragmen!

Bew.: Die Hälfte aller Perm. liefert BSP mit $\leq m + 4$ zu m Fragmen

\Rightarrow Also (prob.) für "guten" BSP:
 best. wähle zufällig Perm.
 generiere BSP
 falls un "schlecht" (= groß) ($\Rightarrow \geq m + 4$ zu m), nochmal

Mulmuley:
 Comp. Geom.,
 Intro through Randomized
 Algs

Concrete Anzahl Versuche = 2

[s.a. Blatt 10, Bruch]

2. Konstr. mit:

Anz. zul. Ebt. aufrufe = Anz. Fragmente = $O(m \log n)$;

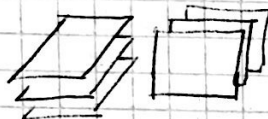
pro Ebt. aufruf wird Menge S übergeben, mit $|S| \leq n$

$\Rightarrow n^2 \log n$

Frage: warum kann man nicht, wie b. Quicksort, $n \log n$ erlegen?
 \Rightarrow weil hier, anders als d. Sort, S nicht garantiert partitioniert wird

Dem.:

- 1) Dieser Alg. funktioniert genauso in 3D, \Rightarrow expected size = $O(n^2)$
~~aber man weiß nicht, wie man ihn analysieren soll!~~ [Blatt gelöscht
Dual-Bread
edition]
- 2) Es gibt Mengen von mitschneidenden Dreiecken in 3D,
für die jede Partition $\Omega(n^2)$ Größe hat.
Ebenso für Nicht-Partitionen [z. End.]
- 3) In der Praxis hat man $O(n)$ bis $O(n \log n)$ (meist $\Theta(n)$)
In der Praxis gilt "principle of locality": Polygone sind
klein verglichen mit Gesamtgröße ["Binary Space Partitioning (BSP) Trees"]



Proof by induction over
size of the stacks

Kleine Anwendungen von BSP-Trees:

[BSP FAQ]

I. Ray-Shooting:

in das Kind reist, das näher auf Startpunkt
DFS must in-order; Abbrechen bei ersten Hit

1. Blatt finden
2. Backtracking der Rekursion

- Punkt muss man nicht splitten; einfach nach links integrieren.
- Punkt muss man im V_1 sein, so nicht spezifizieren.

II. Rendering ohne Z-Buffer:

Painter'sAlg (= back-to-front):

renderet erst den BSP-Teilbaum, der Viewpoint nicht enthält, dann Polygone(s)

Schnittebene, dann BSP-T. Baum, der Vpoint enthält.

Problem: viele Pixel werden 17x überschrieben \rightarrow

Start unvorsichtig gemacht; Ziel: gutes Pixel. $\leq 1x$ schreiben.

Besser: front-to-back + BSP für Screen

3D-BSP umgekehrt wie bei Painter'sAlg traversieren;

Reisek vor dem Rendern durch den Screen-BSP [BSP FAQ]

"sicken" lassen (wird dabei in kleinere konvexe Teile gesplittet); nur die Teile verarbeiten, die in "freie" Zellen kommen; an die entspr. Blätter neue BSP-Subbäume hängen

Weitere Verbesserung: View-Vektor einbeziehen

Damit BSP-Subbäume komplett fallen, wenn "hinten" Viewpoint.

(Dann verwendet anscheinend BSP's zum Rendern)

II. Point Classification: "in" oder "out"

(nasty detail: Pkt liegt auf Splitting-Ebene)

erst geschlossene Obj auf nächste Seite machen

"Binary Space Part. (BSP) Trees"

View-Frustum Culling: Ecken des Frustums gegen Ebene des Kindes decken

Bad-Face Culling: zeichne Pagon nicht, wenn Viewpoint auf neg. Seite der Ebene. keine Extralisten; trotzdem ganze BSP tra-

[graphics II, III.5]

Objekt - Repräsentation für geschlossene Obj.

Baum BSP für Menge der Pgone (Autopartition)

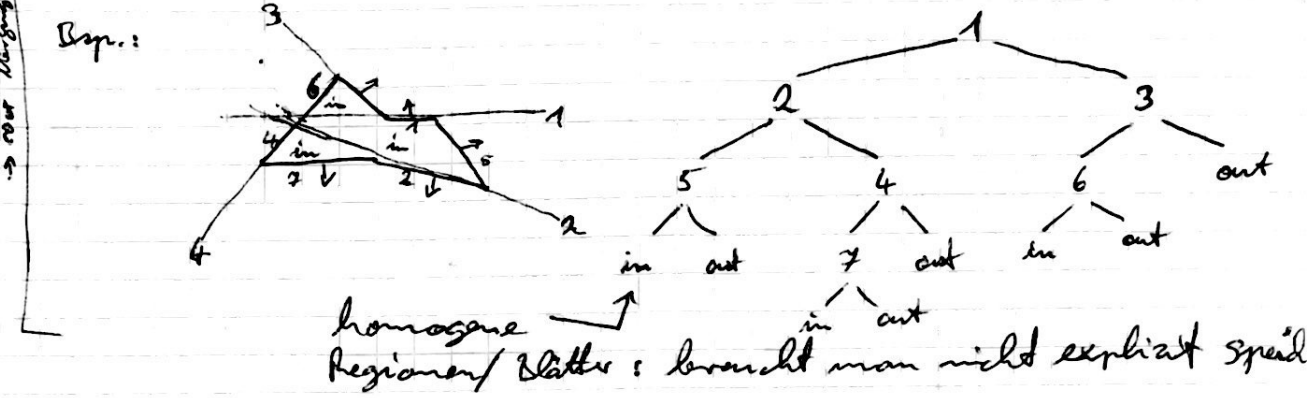
Für jedes Blatt:

rechtes Kind (links) auf Seite ~~der~~ ^{der} rechter Normale = "out" Region

linkes Kind = "in" Region

Annahme dabei: Normale der Pgone zeigen nach außen

Bsp.:



Optimale BSP-Trees: Was ist ein "guter" Tree?

Balancierung vs. Splits, hängt von Typ ab:

Typ = Klassifikation (Pkt, Linie, ...) $\xrightarrow{\text{reg-fitting}}$ Balancierung optimieren

Typ = ^{depth sorting} Visibility (Rendering) $\xrightarrow{\# \text{fragments}}$ Splits optimieren

Kosten eines BSP $C(T) = 1 + P^- \cdot C(T^-) + P^+ \cdot C(T^+)$

mit P^-, P^+ = Wahrscheinlichkeit, daß

[Taylor:
"Tutorial on..."]

linker/rechter Tree traversiert wird.

Bsp. für Point-location: $P^- = \frac{\text{Val}(R^-)}{\text{Val}(R)}$

Heuristik: for construction

["Tutorial on..."]

schätze $C(T^-)$ durch $|S^-|^{\alpha}$, $\alpha = 0.8 - 0.95$

addiere zusätzlich $\beta \cdot n$, $n = \# \text{geplittete Pgone}$, $\beta = \frac{1}{4}, \frac{3}{4}$

beroorde große Pgone: sortiere Pgone nach Größe und

betrachte nur die ersten k Stück

(Rationale:
wenn die
großen weg sind,
verwenden die
kleinen weniger
Splits)
wird später
weniger
gesplittet

Heuristik führt anscheinend zu
eher "besseren" BSPs:



[Euchs et al.]
["BSP Trees"]

Heuristik für Splitting-Minimierung:

wähle k zufällige Pgone aus S ;

wähle davon dasjenige, das die geringste Anzahl Splits verursacht

DaB.: $k=5$ genügt für fast-optimale Trees.

Self

Distribution-Optimized BSP's | gleich:

Heuristik für bekannte Infraverteilungen:

Bsp.: Strahltest, Ray-Casting

① Idee: Strahlen sind nicht gleichmäßig verteilt \rightarrow ISP anpassen

(manche Richtungen kommen häufiger vor)

Knoten ($\overset{\text{ray}}{\text{BSP}}$) = # beschaffter Knoten

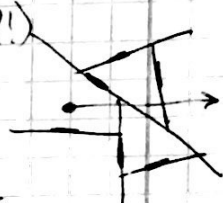
$$C(T) = \leq \text{Tiefe (BSP)} \cdot \# \text{stabbed (leaf) cells}$$

+

Idee: minimiere # stabbed cells bevor Pgone getroffen

Was beeinflusst Wahrscheinl., dass Strahl Pgone trifft:

- o Winkel zw. Strahl u. Pgone = 0° \rightarrow W.keit groß
- o Pgone ~~ist~~ ^{ist} groß (rel. zu Ges. Größe) \rightarrow W.keit groß
- o ...



$w(l)$ = Dichteverteilung über Strahlen l über Domain D

$w: D \rightarrow \mathbb{R}$ probability density function over $D = \text{set of all rays}$

wird gemessen, oder aus Geometrie abgeleitet

$l \in D = \text{knoten}$, mit Drehung & Richtung also $D \subseteq \mathbb{R}^5$

S = Menge Pgone, für die BSP gebaut wird.

Algo: randomized greedy

$$\text{Define score } (\rho_i) = \int_D w(s, \rho_i, l) \cdot w(l) dl$$

\uparrow weight

$$w(s, \rho_i, l) = |m \cdot l| : \frac{\text{area}(\rho_i)}{\text{area}(s)}, m = \text{Normale von } \rho_i$$

\rightarrow Pgone, die sehr wechsld. getroffen werden,

lassend, aber im Dom. ("customized BSP")
for initial BSP

Modified Algo: sortiere Pgone nach $\text{score}(\rho_i)$

wähle zufällig ein ρ_i aus den "top k".

Exp.: customized BSP hat 2x Knoten wie Standard-BSP, aber

2-10x weniger
Beschaffte Knoten!

Biologie:
Hoffmann
Celing

Erweiterung:
Deferred, self-organizing BSPs:

Problem: ω is at unknown at time of construction
bei Bearbeitung von Infragen (z.B. Strahltest)

ist Verteilung der Infragen i.A. nicht uniform,

dies wird aber bei Konstr. der BSPs nicht berücksichtigt

Lsg \rightarrow self-organizing.

Problem: Verteilung der Infragen ist a priori nicht bekannt

Lsg \rightarrow deferred

Bsp.: Ray-Casting ; Ziel: Pgone, die häufig von Strahl geschnitten werden, sollen mögl. mit den im BSP stehen.
Algo / Datenstruktur:

Knoten v speichert:

defekte: teste, ob Strahl l "Ray casting"
Pgone trifft (außer bei Ray-Shading,
wo nächst Schritt get. gesucht wird!)

Standard { invert. Ebene π_v + Pgone P_v

2. entl. seige Region R_v

Deferred BSP's: preliminary leaves

Erweiterung \rightarrow falls vorläufiges Blatt: Liste von Pgones $\mathcal{L}(v)$

$t(v) = \text{visit counter}$

Also $t(p) = \text{list counter for } p \in \mathcal{L}(v)$

$l := \text{Strahl}$

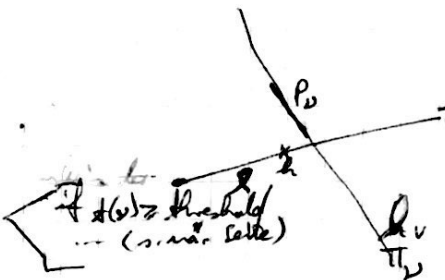
$v := \text{Knoten}$

if v ist Blatt

increment $t(v)$

teste l gegen alle Pgones $P \in \mathcal{L}(v)$ für $P \in \mathcal{L}(v)$

return min. Schn. pt., oder "none"



else

(bei Ray-Shading steht hier "min")

$v_1 := \text{Kind von } v, \text{ das näher an Startpunkt von } l$
 $\text{an same side as start pt of } l$

$v_2 := \text{"andere" Kind}$

testray(l, v_1)

if kein Hit gefunden in v_1

testray(l, v_2)

endif

(Hinweis früher z.T.
falls Strahl andich; z.B. well-kond)

Initiater BSP := 1 Knoten (= Wurzel) mit $L = \text{alle Bäume des Objekts}$
Frage:

1. wann wird ein vorläufiges Blatt gesplittet? (und warum?)
2. wie wird es gesplittet?
1. Warum: $\star(v) = \text{traversal counter for } v$
Angriffszähler pro Knoten; wird erhöht, wenn traversiert wird;
Split, falls $\# \geq \underline{\text{Schwellwert}}$ (absolut oder relativ)
2. Wie: $t(p) =$

Angriffszähler pro Bogen aus L_v ;
wird erhöht, wenn Schnittpunkt damit gefunden;
~~somit der grifft diesen Blätter (imrementell); self-organizing list~~
falls Split, dann mit dem ersten Bogen aus L_v ,
für das $t(p^0) = \max$

Bem.:

- viele Bäume, die nie an einem Split beteiligt sind, werden schließlich in Blätter, die nie traversiert werden.
- andere Bäume, die Listen L zu verwalten (z.B. "move to front"
oder "swap"), scheinen weniger effiziente BSPs zu liefern
- Performance-Gewinn gegenüber Standard-BSP: Faktor 2-20 (angelt)
besonders bei Objekten mit vielen Konkavitäten

Frage:

Wie macht man es für Ray-Tracing?
(dort nutzt man min. Schr. plt!)

[Obj. repräsentation an nur 2 Seiten] [Taylor, Beranek, Thibault: Merge - Set Operations; Signgraph 1990 - Signgraph '96 course Notes 29]

Merging:

BSP = Obj. repräsentation; eignet sich gut für Set Operations
Solid Modeling, da \cap, \cup, \setminus leicht zu implementieren
(mit einheitlichen Algos).
a.d.a. CSG Oper.

Abstrakte Elementare Operation: "Merge"

$$\text{BSP}_1 \oplus \text{BSP}_2 \rightarrow \text{BSP}_3$$

wobei die Zellen von BSP_3 durch paarweise Schnitte der Zellen aus BSP_1 u. BSP_2 entstehen

$$C_3 = \{ c_1 \cap c_2 \mid c_1 \in C_1, c_2 \in C_2, c_1 \cap c_2 \neq \emptyset \}$$

$c_i \equiv$ Regionen der Blätter, $C_i = \{ \text{alle Regionen aller Blätter des } \text{BSP}_i \}$

Erst mal einfachere Operationen:

Geg.: BSP T , Ebene H ; (entl. mehr Pagen H^+) ignorieren boy in "

ges.: neuer BSP \hat{T} , dessen Wurzel H ist. ~~H~~

Bem.: $\hat{T}^- = T \cap H^-$, $\hat{T}^+ = T \cap H^+$.

partition-tree (T, H) $\rightarrow \hat{T}$

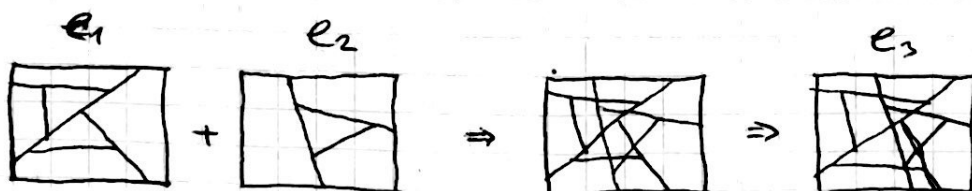
$(T^\ominus, T^\oplus) := \underset{\text{splittree}}{\pi\text{-tree}}(T, H, \underset{\text{H}}{\pi})$

$\hat{T} := (H, \underline{\pi}, T^\ominus, T^\oplus)$

Notation: $T = (\text{Ebene } H, \text{ linkes Kind}, \text{ rechtes Kind})$

Polygon in Split-Ebene

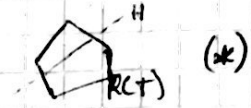
Bem.: Für das eigtl. Ziel "tree merging" braucht man erstl. nur die fakt. π -tree, aber der Klarheit halber tun wir so, als wälten wir \hat{T} konstr.



splittree
 $p^2\text{-tree } (T, H, P) \rightarrow (T^\ominus, T^\oplus)$ sicht man später, wenn gebrochen
 $\{ T^\ominus = T \cap H^-, T^\oplus = T \cap H^+, P = H \cap R(T), T = (H_T, \downarrow T, T^+) \}$

Fall T ist Blatt:

return
 $\rightarrow (T^\ominus, T^\oplus) := (T, T)$



$\{ T$ kein Blatt $\}$

Fall H und H_T koplanar, opposite normals:

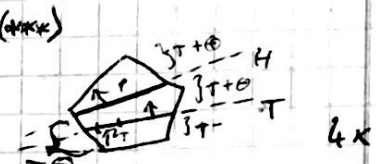


$$T^\ominus := T^+ ; T^\oplus := T^-$$

Analog: koplanar und Normale gleich

Fall "pos./pos.":

$$(T^{+\ominus}, T^{+\oplus}) := \text{splittree } (T^+, H, P)$$



$$T^\ominus := (H_T, \downarrow T, T^+)$$

$$T^\oplus := T^{+\oplus}$$

Analog die Fälle "neg/neg", "pos/neg", "neg/pos"

Fall "mixed":

$$(T^{+\ominus}, T^{+\oplus}) := \text{splittree } (T^+, H, P \cap R(T^+))$$



$$(T^{-\ominus}, T^{-\oplus}) := \text{p-tree } (T, H, P \cap R(T))$$

$$T^\ominus := (H_T, \downarrow T^{-\ominus}, T^{+\ominus})$$

$$T^\oplus := (H_T, \downarrow T^{-\oplus}, T^{+\oplus})$$

analog die restlichen 4 Fälle ("parallel on", "pos/neg", "neg/pos", "neg/neg")

Bem.:

(*) kommt vielleicht einen komisch vor, wird aber klar wenn man ein Bsp. rechnet.

(**) $P \cap R(T^+)$ bekannt man natürlich ganz einfach, indem man $P \cap H^+$ bildet (ganz 2 Kanten von P schreiben).

(1) numerisch muss man aufpassen, daß man nicht aus Verschern einen der anderen Fälle als "parallel on" klassifiziert! Kann leicht passieren, wenn Zellen klein werden.

(***) Das $P_{\text{gen}}|T$ muss man eigl. ganz nach oben transportieren, und in neuen Wurzelknoten einführen.

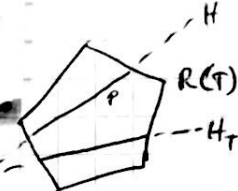
- ^{splitter} p-tree tut fast keine Arbeit; nur Fälle klassifizieren (z.B.) und $p \cap H^+$, $p \cap H^-$ berechnen.

s.a. Graphics Sem III,

"mixed" Fall

Fall-Erkennung: ↘ Kapi. IV.2

vergleiche $P = H \cap R(T)$ mit H_T .



bunte-force: alle Ecke von P in H_T einsetzen

Best.: P konvex \rightarrow Min u. Max mit Binärsuche finden.

Dann.: $P \cap R(T^-)$ u. $P \cap R(T^+)$ fällt hier als Vektorprodukt ab.

Damit kann man also für Tree-Merging machen.

merge(T_1, T_2) $\rightarrow T_3$ {preread.: $R(T_1) = R(T_2)$ }

T_1 oder T_2 ist Blatt (= kleinste Zelle in der Space-Partitionierung)
return \rightarrow cell-op(T_1, T_2)
($=$ homogene Region / Blatt)

T_1 = BSP mit Wurzel (H_1, p_1, T_1^-, T_1^+)

Sonst:

$(T_2^\ominus, T_2^\oplus) :=$ ^{splitter} p-tree($T_2, H_1, ..$)

$T_3^- :=$ merge(T_1^-, T_2^\ominus)

$T_3^+ :=$ merge(T_1^+, T_2^\oplus)

$T_3 := (H_1, T_3^-, T_3^+)$

↑
FRAGE: was passiert hier? mit H_1 wieder zw. beiden
 $\rightarrow p_1$ (OK, wegen $R(T_3) = R(T_1^-)$, $R(T_3^+) = R(T_1^+)$)

T_2^\ominus, T_2^\oplus liegen
wobei exakt die
gleiche Region obs
kommt wie T_1^-, T_1^+ .

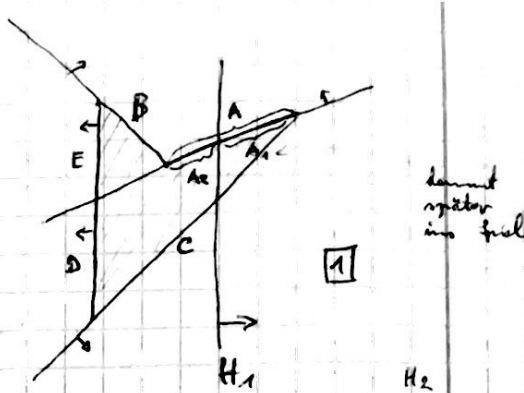
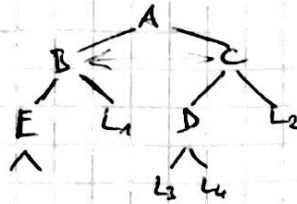
Bem.:

- Ekt cell-op liefert die "Semantik" ($\cup, \cap, -$); für den wunsch. gesuchten Zellkomplex (BSP₂) erweitert man einfach das eine Blatt T_2 durch den anderen BSP-T. Baum T_2 .
- Symmetrisch ob man T_2 mit H_1 partitioniert oder T_1 mit H_2 ist total egal, es kommt dasselbe heraus.
(Hier muss nur aufpassen, falls cell-op nicht-kommutativ)

Dep. für p-trees:

Rel. stufe

1. (A, H_1) = "mixed":



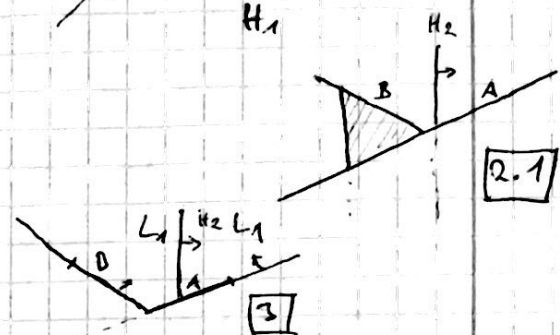
dominat
nicht
im final

2.1 (B, H_2) = "pos/pos":

3. (L_1, H_2) = "leaf":

$$T^\Theta := L_1, \quad T^\Theta := L_1$$

$$(T^{+0}, T^{-0}) \left\{ \begin{array}{l} T^\Theta := L_1 \\ T^\Theta := (B, E, L_1) \end{array} \right.$$



2.2 (C, H_3) = "mixed":

3.1 (L_2, H_4) = "leaf":

$$(T^{+0}, T^{-0}) \left\{ \begin{array}{l} T^\Theta := L_2 \\ T^\Theta := L_2 \end{array} \right.$$

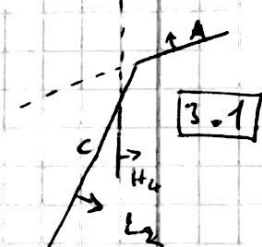
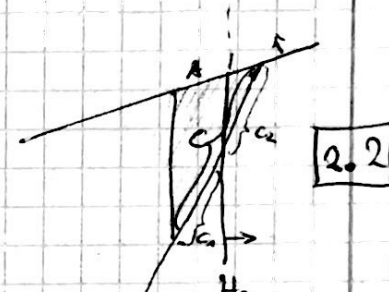
3.2 (D, H_5) = "neg/neg":

4. (L_3, H_6) = "leaf":

$$T^\Theta := L_3, \quad T^\Theta := L_3$$

$$(T^{-0}, T^{-0}) \left\{ \begin{array}{l} T^\Theta := L_3 \\ T^\Theta := (D, L_3, L_4) \end{array} \right.$$

orig. right child
of b

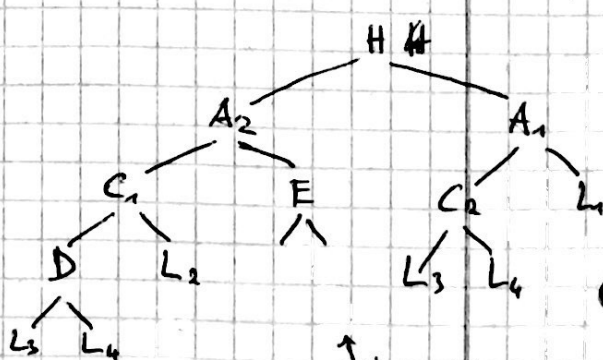
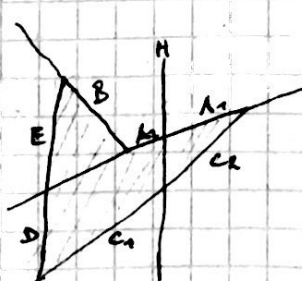


$$(T^{-0}, T^{-0}) \left\{ \begin{array}{l} T^\Theta := (C_2, L_3, L_2) \\ T^\Theta := (C_1, D, L_4) \end{array} \right.$$

$$T^\Theta := (A_1, C_2, L_1)$$

$$T^\Theta := (A_2, C_1, E)$$

(H, A_2, A_1)



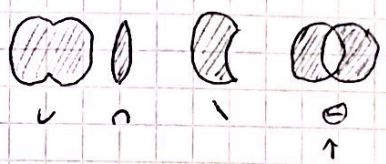
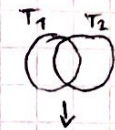
einige L's
mehrfach
verwendet, aber
einfachheit halber.

cell-op (T_1, T_2):

Precondition: $R(T_1) = R(T_2)$

{ oddA T_1 , Blatt (T_2 null. und.) }

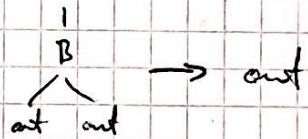
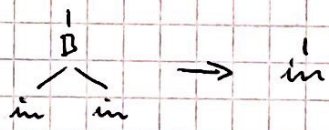
Oper.	T_1	Result
\cup	in T_1	(= in)
	out T_2	
\cap	in T_2	
	out T_1	(= out)
\setminus	in T_2^c	(T_2 komplementiert)
	out T_1	(= out)
\ominus	in T_2^c	
xor	out T_2	



min.
difference
 \cong xor

Die Zellen-Op. liefert
nicht die eigl. Semantik!

Kondensation:



Diese Vereinfachungsop. sollte man ständig
während eines Merge durchführen; bringt Perf.!

Wie bestimmt man die Pzne auf dem
Rand von Obj1 (op) Obj2 ?